

# Décodage en liste des codes géométriques

Lancelot PECQUET

Directrice de thèse: Pascale CHARPIN  
Co-Directeur de thèse: Daniel AUGOT  
Projet CODES / *INRIA-Rocquencourt*

Soutenance de Thèse de Doctorat  
Université Pierre et Marie CURIE, Paris 6

18 décembre 2001

Début

Intro.

$d_\lambda$

RS

AG

Concl.

Fin

# Plan

## 1. Introduction:

- (a) définitions et historique du décodage en liste;
- (b) contribution de cette thèse.

## 2. Principe du décodage souple métrique.

## 3. Décodage en liste des codes de **REED-SOLOMON**:

- (a) principe fondamental et comparatif des méthodes existantes;
- (b) théorème général de décodage en liste et décodage souple algébrique ML;
- (c) algorithmique associée au décodage en liste.

## 4. Décodage en liste des codes géométriques: motivation et généralisation.

## 5. Conclusion: limites, autres codes, connexions et perspectives.

Début

Intro.

$d_\lambda$

RS

AG

Concl.

Fin

# Introduction

Début

Intro.

$d_\lambda$

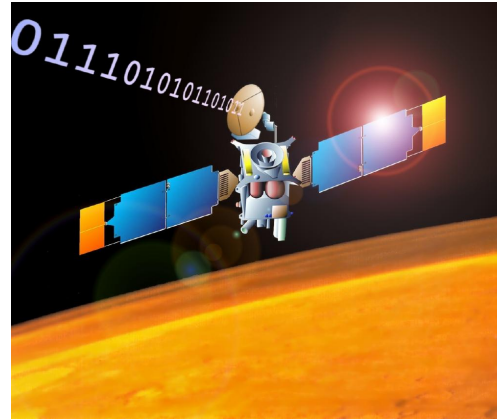
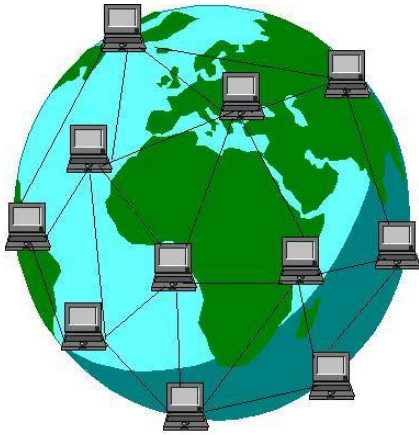
RS

AG

Concl.

Fin

# Fiabilisation algorithmique des télécommunications



Début

Intro.

$d_\lambda$

RS

AG

Concl.

Fin

# Codes en blocs et décodages

La **distance de HAMMING** entre deux mots  $x, y$  de même longueur est le nombre de lettres  $d(x, y)$  dont ils diffèrent.

Sur l'**alphabet**  $A = \{a, \dots, z\}$ , l'ensemble:

$$C = \{\text{cassis}, \text{goyave}, \text{mangue}, \text{banane}\}$$

est un **code en blocs** de **longueur**  $n = 6$ .

Sa **distance minimale** est  $d = 3$ .

**Décoder** le mot  $y = \text{bangué}$ , c'est trouver **mangue**: son plus proche voisin dans  $C$ .

**Décoder en liste**  $y = \text{bangué}$  à **distance**  $\tau = 2$ , c'est trouver les deux mots **mangue**, **banane** qui sont à distance au plus  $\tau$  de  $y$ .

$d(\text{cassis}, \text{goyave})$	6
$d(\text{cassis}, \text{mangue})$	5
$d(\text{cassis}, \text{banane})$	5
$d(\text{goyave}, \text{mangue})$	5
$d(\text{goyave}, \text{banane})$	4
$d(\text{mangue}, \text{banane})$	<b>3</b>

$d(\text{bangué}, \text{cassis})$	5
$d(\text{bangué}, \text{goyave})$	5
$d(\text{bangué}, \text{mangue})$	<b>1</b>
$d(\text{bangué}, \text{banane})$	2

Début

Intro.

$d_\lambda$

RS

AG

Concl.

Fin

# Le codage en pratique

Un code servant à coder des mots binaires de 256 bits a un nombre d'éléments au moins égal à:

$$2^{256} \simeq 1.15792 \times 10^{77} \simeq \text{nombre d'atomes estimé de l'Univers.}$$

Stockage explicite du code impossible:

On prend un **code linéaire**.

Décodage par force brute impossible:

On exploite de la **structure algébrique** du code.

Début

Intro.

$d_\lambda$

RS

AG

Concl.

Fin

# Historique du décodage en liste

1957 **ELIAS, WOZENCRAFT**: concept de décodage en liste.

1996 **SUDAN**: décodage en liste des codes de **REED-SOLOMON** (RS) de faible taux de transmission (*i.e.* de grande distance relative).

1997 **SHOKROLLAHI-WASSERMAN**: adaptation aux codes fortement géométriques à un point (SAG1) de faible taux.

1999 **GURUSWAMI-SUDAN**: amélioration pour tous les codes RS et SAG1 jusqu'au rayon de **JOHNSON**.

2000 **KOETTER-VARDY**: décodage à entrée souple mais ne maximise pas la vraisemblance en général.

Début

Intro.

$d_\lambda$

RS

AG

Concl.

Fin

# Contributions principales de cette thèse

1. Décodage en liste de tous les codes géométriques pour la distance généralisée  $d_\lambda$ .
2. Choix de  $\lambda$  permettant de maximiser la vraisemblance dans un décodage souple algébrique, sur tout canal discret sans mémoire.
3. Étude globale des méthodes de géométrie algébrique effective pour les codes géométriques:
  - (a) **construction**: algorithmique des courbes, désingularisation, genre, diviseurs, espaces de RIEMANN-ROCH, sur la base des travaux de Gaétan HACHÉ et en collaboration avec Paweł WOCJAN;
  - (b) **décodage en liste**: méthodes  $p$ -adiques, algorithmes de NEWTON-HENSEL (collaboration avec Daniel AUGOT) et de NEWTON-PUISEUX sur les corps de fonctions de courbes.
4. Implantation en Magma .

Début

Intro.

$d_\lambda$

RS

AG

Concl.

Fin



# Principe du décodage souple métrique

Début

Intro.

$d_\lambda$

RS

AG

Concl.

Fin

# Canaux discrets sans mémoire

Alphabets d'entrée et de sortie:

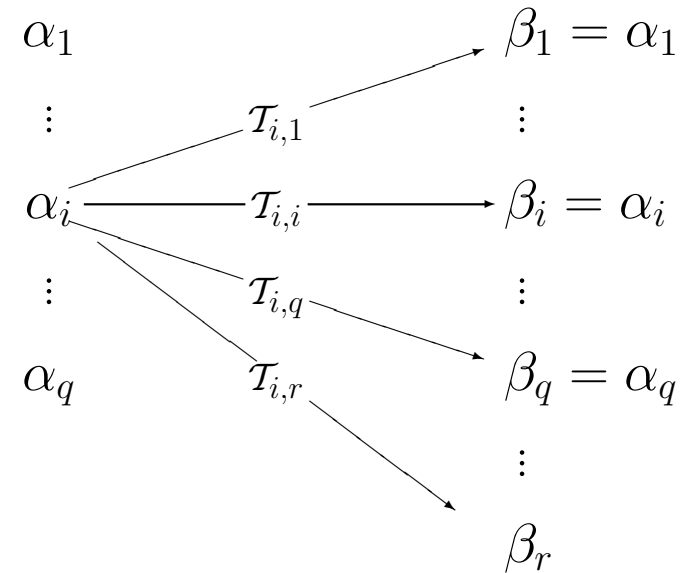
$$A = \{\alpha_1, \dots, \alpha_q\} \subseteq B = \{\beta_1, \dots, \beta_r\}$$

Probabilités conditionnelles:

$$\mathcal{T}_{i,j} = \text{pr}[\beta_j \mid \alpha_i]$$

Pour tout  $x \in A^n$  émis et tout  $y \in B^n$  reçu:

$$\text{pr}[y \mid x] = \prod_{j=1}^n \text{pr}[y_j \mid x_j].$$



Dans le canal  $q$ -aire symétrique de probabilité de transition  $p$ :

$$\log(\text{pr}[y \mid x]) = d(x, y) \cdot \underbrace{\left( \log\left(\frac{p}{q-1}\right) - \log(1-p) \right)}_{<0 \text{ ssi } p < \frac{q-1}{q}} + n \log(1-p).$$

Début

Intro.

$d_\lambda$

RS

AG

Concl.

Fin

# Distance généralisée et décodage en liste

$$\begin{array}{ccccc} \text{probabiliste} & \longrightarrow & \text{métrique} & \longrightarrow & \text{algébrique} \\ \text{pr}[y | x] & \longrightarrow & d_\lambda(x, y) & \longrightarrow & s_\lambda(x, y) \end{array}$$

Pour tout  $\lambda \in \mathbb{R}_+^n$ , on définit  $\lambda$ -distance et la  $\lambda$ -similarité entre  $x$  et  $y$  dans  $A^n$ :

$$d_\lambda(x, y) = \sum_{\substack{1 \leq j \leq n \\ x_j \neq y_j}} \lambda_j \quad \text{et} \quad s_\lambda(x, y) = \sum_{\substack{1 \leq j \leq n \\ x_j = y_j}} \lambda_j .$$

Pour  $\tau + s = \|\lambda\|_1$ , on cherche  $B_\lambda(y, \tau) \cap C = S_\lambda(y, s) \cap C$  où:

$$B_\lambda(y, \tau) \stackrel{\text{def}}{=} \{x \in A^n \mid d_\lambda(x, y) < \tau\} = S_\lambda(y, s) \stackrel{\text{def}}{=} \{x \in A^n \mid s_\lambda(x, y) > s\} .$$

Cas triviaux:  $\tau = 0$  ou  $s = 0$ .

Début

Intro.

$d_\lambda$

RS

AG

Concl.

Fin

# Similarité et vraisemblance

Pas de comparaison directe entre  $x \in A^n$  et  $y \in B^n$ ; on les déploie dans  $A^{qn}$ :

$$\begin{aligned} \text{span}(x) &= \left( \boxed{x_1 \quad \cdots \quad x_1} \quad \cdots \quad \boxed{x_n \quad \cdots \quad x_n} \right) \in A^{qn} \\ y &= \left( \boxed{\alpha_1 \quad \cdots \quad \alpha_q} \quad \cdots \quad \boxed{\alpha_1 \quad \cdots \quad \alpha_q} \right) \in A^{qn} \\ \lambda(y) &= \left( \boxed{\lambda(y)_{1,1} \quad \cdots \quad \lambda(y)_{1,q}} \quad \cdots \quad \boxed{\lambda(y)_{n,1} \quad \cdots \quad \lambda(y)_{n,q}} \right) \in \mathbb{R}_+^{qn} \end{aligned}$$

Nous choisissons  $\lambda(y)_{i,j} = \log \text{pr}[y_j \mid \alpha_i] - \xi_j$  où  $\xi_j \stackrel{\text{def}}{=} \min_{1 \leq i \leq q} \log \text{pr}[y_j \mid \alpha_i]$ :

$$s_{\lambda(y)}(\text{span}(x), y) = \log \text{pr}[y \mid x] - \log \min_{z \in A^n} \text{pr}[y \mid z].$$

KOETTER et VARDY choisissent  $\lambda(y)_{i,j} = \text{pr}[y_j \mid \alpha_i]$ :

$$s_{\lambda(y)}(\text{span}(x), y) = \sum_{j=1}^n \text{pr}[y_j \mid x_j].$$

# Décodage en liste des codes de REED-SOLOMON

Début

Intro.

$d_\lambda$

RS

AG

Concl.

Fin

# Codes de REED-SOLOMON

Déf: Soient  $p = (p_1, \dots, p_n) \in \mathbb{F}_q^n$  et  $k \in \mathbb{N}$ , on a:

$$\begin{array}{ccc}
 \mathbb{F}_q[x] & \begin{array}{c} \xrightarrow{\text{évaluation}} \\ \xleftarrow{\text{interpolation}} \end{array} & \mathbb{F}_q^n \\
 \uparrow & & \uparrow \\
 \langle 1, x, \dots, x^{k-1} \rangle = L(k) & \xleftrightarrow{\quad} & C = \text{ev}_p(L(k)) \\
 f_c & \xleftrightarrow{\quad} & c = (f_c(p_1), \dots, f_c(p_n))
 \end{array}$$

1.  $C$  est linéaire;
2.  $C$  a une forte structure algébrique ( $\mathbb{F}_q[x]$  est une algèbre factorielle);
3. si les  $p_j$  sont distincts alors  $n \leq q$  et si  $k < n$ :

$$\dim(C) = k \quad \text{et} \quad d(C) = n - k + 1$$

Début

Intro.

$d_\lambda$

RS

AG

Concl.

Fin

# Principe du décodage en liste effectif

Pour tout  $y \in \mathbb{F}_q^n$  et  $m \in \mathbb{N}^*$ , on construit un réel  $s_m$ , et un **polynôme  $s_m$ -reconstructeur**  $G_m(T) \in \mathbb{F}_q[x][T]$  de degré au plus  $b_m$  tels que, pour tout  $c \in C$ :

$$s_\lambda(c, y) > s_m \implies G_m(f_c) = 0 \text{ dans } \mathbb{F}_q[x].$$

**Idée:** on cherchera  $G_m \in \mathbb{F}_q[x][T]$  tel que, pour tout  $f_c \in L(k)$ :

1.  $G_m(f_c)$  a un degré au plus  $m \cdot s_m$
  2.  $G_m(f_c)$  a au moins  $m \cdot s_\lambda(c, y)$  zéros
- donc  $s_\lambda(c, y) > s_m \implies G_m(f_c) = 0$ .

**Cas triviaux exclus:**

$$G_m(T) = 0 \quad \text{ou} \quad G_m(T) = \prod_{f_c \in L(k)} (T - f_c).$$

**NB:** Il y a au plus  $b_m$  mots de  $C$  dans la boule  $S_\lambda(y, s_m)$ .

Début

Intro.

$d_\lambda$

RS

AG

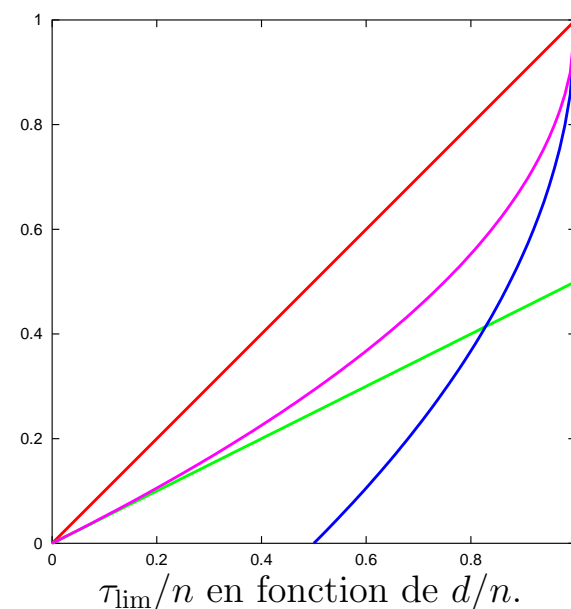
Concl.

Fin

# Performance du décodage en liste

Jusqu'à quel rayon  $\tau_{\text{lim}}$  sait-on décoder en liste un  $[n, k, d]_q$ -code de RS?  
(distance de HAMMING)

Rayon $\tau_{\text{lim}}$	Combinatoire	Effectif
$\frac{d}{2}$	empilement	BERLEKAMP $m = 1, \lambda_j = 1, b_1 = 1$
$n \left(1 - \sqrt{2 \left(1 - \frac{d}{n}\right)}\right)$	?	SUDAN $m = 1, \lambda_j = 1$
$n \left(1 - \sqrt{1 - \frac{d}{n}}\right)$	JONHSON	GURUSWAMI-SUDAN $\lambda_j = 1$ (voire $\lambda_j \in \mathbb{N}$ )
$n^{\frac{q-1}{q}} \left(1 - \sqrt{1 - \frac{d}{n^{\frac{q-1}{q}}}}\right)$	JOHNSON $q$ -aire	KOETTER-VARDY $\lambda_j \in [0, 1]$
$d$	recouvrement	non



Début

Intro.

$d_\lambda$

RS

AG

Concl.

Fin



# Décodage en liste et décodage souple algébrique ML

Th [L.P. 2001]: Pour tout  $\lambda \in \mathbb{R}_+^n$ , on peut décoder en liste jusqu'à:

$$\tau_{\text{lim}} = \|\lambda\|_1 - \|\lambda\|_2 \sqrt{n-d} :$$

pour tout  $m$ , il existe  $s_m$  et un polynôme  $s_m$ -reconstructeur  $G_m(T)$  tels que:

$$s_m = \underbrace{\|\lambda\|_2 \sqrt{n-d}}_{s_{\text{lim}}} + \mathcal{O}(1/\sqrt{m}) \quad \text{et} \quad \deg G_m \leq b_m = \frac{\|\lambda\|_2}{\sqrt{n-d}} \cdot m + \mathcal{O}(m^{3/4}) .$$

Le code déployé issu de  $C$  est un  $[nq, k, dq]_q$ -code RS; avec notre choix de  $\lambda(y)$ :

Th [L.P. 2001]: On peut calculer tous les mots  $c \in C$  tels que:

$$\text{pr}[y | c] > \min_{x \in A^n} \text{pr}[y | x] \cdot e^{\|\lambda(y)\|_2 \sqrt{q(n-d)}} .$$

Début

Intro.

$d_\lambda$

RS

AG

Concl.

Fin

# Algorithmique du décodage en liste

Soient  $y$  et  $s > s_{\text{lim}}$ , on procède en **trois phases** pour calculer  $S_\lambda(y, s) \cap C$ :

0. Calculer  $m$  assez grand pour que  $s_m \leq s$ , en déduire  $b_m$ .

1. Trouver un polynôme reconstituteur  $G_m(T)$ .

Méthode proposée par	Principe
SUDAN, ... L.P.	GAUSS
OLSHEVSKY-SHORKOLLAHI	structure de déplacement
NIELSEN-HØHOLDT	interpolation itérative

2. Trouver les racines  $f_c \in L(k)$  de  $G_m(T)$  telles que  $s_\lambda(c, y) > s$ .

Méthode proposée par	Principe
L.P.	NEWTON-HENSEL, NEWTON-PUISEUX
GAO-SHOKROLLAHI	autre méthode à polygone de NEWTON.
GURUSWAMI-SUDAN	calcul dans une extension de $\mathbb{F}_q$ .

Début

Intro.

$d_\lambda$

RS

AG

Concl.

Fin

# Recherche des racines: NEWTON-HENSEL

Th [Relèvement de NEWTON-HENSEL]: Si  $G_m(p_j, y_j) = 0$  et  $G'_m(p_j, y_j) \neq 0$  (avec  $(p_j, y_j) = (0, 0)$ , sinon il suffit de translater) alors l'unique racine  $f$  de  $G_m$  dans  $\mathbb{F}_q[[x]]$  telle que  $f(p_j) = y_j$  satisfait  $f \equiv f_l \pmod{x^{2^l}}$  où:

$$f_0 = y_j \quad \text{et} \quad f_l = f_{l-1} - G_m(f_{l-1})/G'_m(f_{l-1}) \pmod{x^{2^l}}, \quad \text{pour } l \geq 1 .$$

Th [AUGOT, L.P. 1999]: Soient  $\lambda = (1, \dots, 1)$  et  $G_1(T)$  de degré minimal. Pour toute racine  $f \in L(k)$  de  $G_1$ , il existe  $j$  tel que  $f$  est relevable en  $p_j$ , i.e.:

$$f(p_j) = y_j \quad \text{et simultanément} \quad G'_m(p_j, y_j) \neq 0 .$$

Th [AUGOT, L.P. 1999]: L'algorithme de SUDAN peut décoder en liste un code de longueur  $n$  en  $\mathcal{O}(n^2 \log n)$  opérations arithmétiques sur  $\mathbb{F}_q$ .

Pour  $\lambda$  et  $m$  quelconques  $G'_m(p_j, y_j)$  peut être nul sur  $\mathbb{F}_q^2$ : **NEWTON-PUISEUX**.

Début

Intro.

$d_\lambda$

RS

AG

Concl.

Fin

# Recherche des racines: NEWTON-PUISEUX

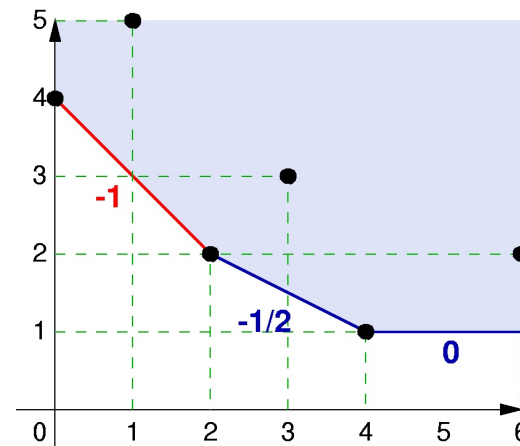
**Th [NEWTON-PUISEUX]** Si  $G_m(T) = x^{\varepsilon_0}(\alpha_0 + \dots)T^0 + \dots + x^{\varepsilon_{b_m}}(\alpha_{b_m} + \dots)T^{b_m}$ , soit  $f = cx^e + \dots \in \mathbb{F}_q[x]$  tel que  $G_m(f) = 0$ , alors  $-e$  est une pente du polygone de NEWTON de  $G_m$  et  $c$  est une racine du polynôme de  $\mathbb{F}_q[z]$ :

$$\chi_e(z) \stackrel{\text{def}}{=} \frac{1}{z^{\min \Xi_e}} \sum_{i \in \Xi_e} \alpha_i z^i \quad \text{où} \quad \Xi_e = \{i \in \text{Supp } G_m \mid \varepsilon_i + e_i = \sigma_e\}$$

$$\text{et} \quad \sigma_e = \min_{i \in \text{Supp } G} (\varepsilon_i + e_i).$$

L'enveloppe convexe inférieure de  $\{(0, 4), (1, 5), (2, 2), (3, 3), (4, 1), (6, 2)\}$  est le polygone de NEWTON de:

$$\begin{aligned} G_m(T) &= x^4 \cdot (2 + x) \cdot T^0 \\ &+ x^5 \cdot T^1 \\ &+ x^2 \cdot (1 + 8x^5) \cdot T^2 \\ &+ x^3 \cdot 7 \cdot T^3 \\ &+ x^1 \cdot 3 \cdot T^4 \\ &+ x^2 \cdot 2 \cdot T^6. \end{aligned}$$



Début

Intro.

$d_\lambda$

RS

AG

Concl.

Fin

# Décodage en liste des codes géométriques

Début

Intro.

$d_\lambda$

RS

**AG**

Concl.

Fin

# Avantages et inconvénients des codes géométriques

## Avantages principaux

1. Une *structure algébrique analogue* à celle des codes RS.
2. Des *constructions de codes AG de longueur arbitraire* sur  $\mathbb{F}_q$  fixé aux performances pouvant parfois *dépasser la borne de GILBERT-VARSHAMOV*.
3. Des *méthodes algorithmiques issues de la géométrie algébrique effective et de la théorie algorithmique des nombres*.
4. L'*algorithme de décodage en liste* peut être généralisé à ces codes.

## Inconvénients principaux

1. Une *sophistication beaucoup plus grande* que celle des codes RS.
2. Une *algorithmique associée beaucoup plus lourde*, par conséquent.

Début

Intro.

$d_\lambda$

RS

AG

Concl.

Fin

# Codes de GOPPA géométriques

**Déf:** Soit une courbe  $X/\mathbb{F}_q$  projective, géométriquement irréductible, non-singulière de genre  $g$ ,  $p = (p_1, \dots, p_n) \in X(\mathbb{F}_q)^n$ ,  $D \in \text{Div}(X)$  avec  $p_j \notin D$ :

$$\begin{array}{ccc}
 \bigcap_{j=1}^n \mathcal{O}_{X,p_j} = \mathcal{O}_p & \begin{array}{c} \xrightarrow{\text{évaluation}} \\ \xleftarrow{\text{interpolation}} \end{array} & \mathbb{F}_q^n \\
 \uparrow & & \uparrow \\
 \langle f_1, f_2, \dots, f_k \rangle = \mathcal{L}(D) & \xleftrightarrow{\quad} & C = \text{ev}_p(\mathcal{L}(D)) \\
 f_c & \xleftrightarrow{\quad} & c = (f_c(p_1), \dots, f_c(p_n))
 \end{array}$$

1.  $C$  est linéaire;
2.  $C$  a une forte structure algébrique (BÉZOUT et RIEMANN-ROCH);
3. si les  $p_j$  sont distincts alors  $n \leq N_q(g)$  et si  $\deg D < n$ :

$$\dim(C) = k \geq k' = \deg D + 1 - g \quad \text{et} \quad d(C) \geq d' = n - k + 1 - g .$$

avec  $k = k'$  si  $2g - 2 < \deg D$  (fortement géométrique: SAG).

Début

Intro.

$d_\lambda$

RS

AG

Concl.

Fin

# Principe du décodage en liste des codes géométriques

Pour tout  $y \in \mathbb{F}_q^n$  et  $m \in \mathbb{N}^*$ , on construit un réel  $s_m$  et un polynôme  $s_m$ -reconstructeur  $G_m(T) \in \mathcal{O}_p[T]$  tels que, pour tout  $c \in C$ :

$$s_\lambda(c, y) > s_m \implies G_m(f_c) = 0.$$

*Idée:* on construira un diviseur auxiliaire  $\Delta_m$  de degré au moins  $m \cdot s_m$  et on cherchera  $G_m(T) \in \mathcal{L}(\Delta_m)[T]$  tel que, pour tout  $f_c \in \mathcal{L}(D)$ :

$$\begin{array}{l} 1. \deg(G_m(f_c))_\infty \leq m \cdot s_m \\ 2. \deg(G_m(f_c))_0 \geq m \cdot s_\lambda(c, y) \end{array} \quad \begin{array}{l} \text{donc} \\ \uparrow \\ \text{(BÉZOUT)} \end{array} \quad s_\lambda(c, y) > s_m \implies G_m(f_c) = 0.$$

On généralise avec le Théorème de RIEMANN-ROCH:

$$s_m = \underbrace{\|\lambda\|_2 \sqrt{n - d'}}_{s_{\text{lim}}} + \mathcal{O}(1/\sqrt{m}) \quad \text{et} \quad \deg G_m \leq b_m = \frac{\|\lambda\|_2}{\sqrt{n - d'}} \cdot m + \mathcal{O}(m^{3/4}).$$

Début

Intro.

$d_\lambda$

RS

AG

Concl.

Fin



# Remarques

Fonctionnement analogue du décodage souple.

$K \longrightarrow \widehat{K} \simeq \mathbb{F}_q((x))$ : NEWTON-HENSEL et NEWTON-PUISEUX s'appliquent.

Précalcul de la phase « RIEMANN-ROCH »  $\longrightarrow$  implantation bas niveau.

Coût du décodage  $\simeq$  coût de construction (*e.g.* codes de SHUM *et al.*)

Début

Intro.

$d_\lambda$

RS

AG

Concl.

Fin

# Conclusion

Début

Intro.

$d_\lambda$

RS

AG

Concl.

Fin

# Au delà du rayon de JOHNSON?

Th [GOLDREICH, RUBINFELD, SUDAN 1998]: Soit  $d < n \frac{q-1}{q}$ , pour tout réel  $\varepsilon \in ]0, 1[$ , il existe un code  $C$  de longueur  $n$  et de distance minimale  $d$  sur  $\mathbb{F}_q$ , tel et  $y \in \mathbb{F}_q^n$  tels que:

$$\tau = n \frac{q-1}{q} (1 + \varepsilon) \left( 1 - \sqrt{1 - \frac{d}{n \frac{q-1}{q}} + \varepsilon} \right) \implies |B(y, \tau) \cap C| = e^{\Omega(\varepsilon^2 n)} .$$

Probleme ouvert: Peut-on choisir  $C$  AG? RS? linéaire?

HØHOLDT et JUSTESEN: le rayon de JOHNSON est optimal pour le décodage en liste de taille fixée des codes MDS.

Début

Intro.

$d_\lambda$

RS

AG

Concl.

Fin

# Décodage en liste d'autres codes et connexions

Sous-codes dans les sous-corps (BCH, alternants, *etc.*)

Codes concaténés *via* le décodage souple.

Codes de REED-MULLER.

Codes CRT et factorisation des entiers.

Cryptanalyse par interpolation probabiliste de JAKOBSEN.

Interactions avec la théorie de la complexité.

Début

Intro.

$d_\lambda$

RS

AG

Concl.

Fin

Fin

Début

Intro.

$d_\lambda$

RS

AG

Concl.

Fin